

# Modélisation à partir de données expérimentales

Année 2014-2015

# Plan

- 1 Mise en contexte
- 2 Approches graphiques
- 3 Modèle d'ordre quelconque
- 4 Récapitulation

# Motivation

- Obtention d'un modèle basé sur les lois de la physique (ou d'autres lois théoriques) peut être long, mener à des erreurs de modélisation importantes ou être très compliqué
- Utilité de vérifier modèle théorique à l'aide de données expérimentales
- Obtention d'un modèle de type "boîte noire" à partir de données expérimentales: identification d'un système (détermination des expériences à réaliser, de la structure du modèle, estimation des paramètres, ...)

## Types de données expérimentales les plus courants

- Réponses transitoires : réponse impulsionnelle, réponse indicielle
- Réponse harmonique (frequency response): requiert d'exciter le système à l'aide d'un signal multi-sinusoïdal ou d'un ensemble de signaux sinusoïdaux de fréquences différentes
- Réponse à une sollicitation aléatoire naturelle autour d'un état d'équilibre: par exemple avion volant à altitude donnée et sujet aux turbulences du vent
- Réponse à une sollicitation de type pseudo-aléatoire (ex: suite binaire pseudo-aléatoire)

**Dans la suite on se limite à introduire la première approche afin de construire des modèles simples utilisés dans la pratique industrielle**

## Est-il réaliste de considérer des modèles très simples? (1)

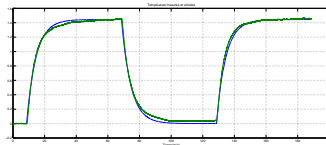
Expériences réalisées sur un système chauffant avec régulation de température



- Actionneur: collier chauffant et électronique de commande associée
- Capteur: Sonde Pt100 (résistance variable en fonction de la température) mesurant la température de l'air à l'intérieur du cylindre
- Signal réglant: tension de commande de l'actionneur
- Signal réglé: température de l'air à l'intérieur du cylindre

## Est-il réaliste de considérer des modèles très simples? (2)

- Relevé de la réponse indicielle d'un système de chauffe et superposition de la réponse fournie par un modèle du premier ordre



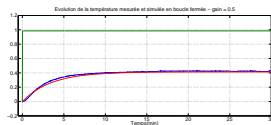
- Fonction de transfert estimée :  $\hat{H}(p) = \frac{1.44}{352.1p+1}$
- Précision suffisante ?

## Est-il réaliste de considérer des modèles très simples? (3)

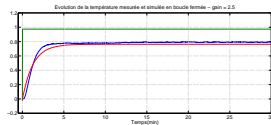
### Etude de la boucle fermée avec régulateur proportionnel de gain $K$ (rétraction unitaire):

Comparaison de la réponse indicielle mesurée en boucle fermée (bleu) et la réponse indicielle simulée en boucle fermée (rouge)

$$K = 0.5 \quad \hat{T}(p) = \frac{0.7221}{352.1p + 1.722}$$

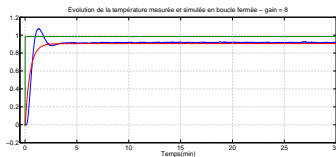


$$K = 2.5 \quad \hat{T}(p) = \frac{3.611}{352.1p + 4.611}$$



## Est-il réaliste de considérer des modèles très simples? (4)

$$K = 8 \quad \hat{T}(p) = \frac{11.55}{352.1p + 12.55}$$



**Augmentation de la qualité requise pour le modèle avec  
l'augmentation des exigences sur la réponse en boucle fermée**

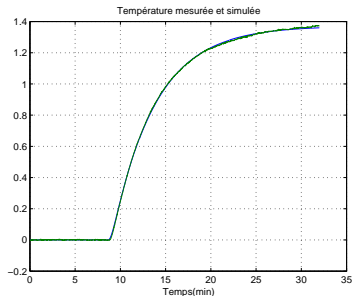


## Est-il réaliste de considérer des modèles très simples? (5)

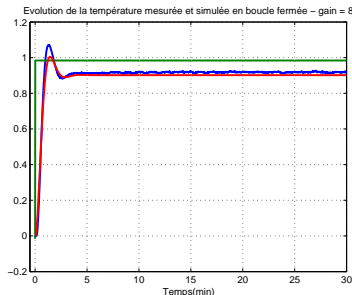
Estimation d'une fonction de transfert d'ordre 2 (boucle ouverte)

"Bleu" réponse indicielle du modèle estimé; "vert" réponse indicielle mesurée

$$\hat{H}(p) = \frac{1.371}{6118p^2 + 307.5p + 1}$$



## Est-il réaliste de considérer des modèles très simples? (6)



Reproduction du dépassement indiciel grâce au modèle d'ordre 2

$$\hat{T}(p) = \frac{10.97}{6118p^2 + 307.5p + 11.97}$$

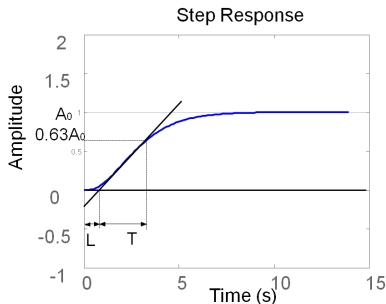
# Modélisation à partir d'une réponse indicielle - Système stable non oscillant(1)

- Relevé de la réponse indicielle
  - Initialement le système est dans un état d'équilibre caractérisé par l'entrée  $u_0$  et la sortie  $y_0$
  - Changement rapide de la grandeur réglante (cf échelon) d'amplitude  $\Delta u$
  - Répétition de l'expérience pour différentes amplitudes de l'échelon (vérification de la linéarité)
  - Tracé de la réponse indicielle mesurée

$$s_{mes}(t) = \frac{y_{mes}(t) - y_0}{\Delta u}$$

# Modélisation à partir d'une réponse indicielle - Système stable non oscillant(2)

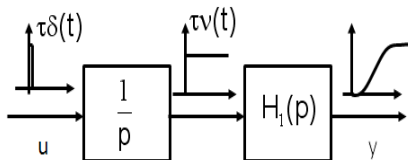
- Construction graphique
  - Réponse indicielle (normalisée par l'amplitude de l'échelon d'entrée)
  - Tangente à la réponse indicielle possédant la plus grande pente



- Modèle estimé:  $\hat{H}(p) = \frac{A_0}{1+pT} e^{-pL}$

## Modélisation à partir d'une réponse impulsionnelle - Système intégrateur(1)

- Pas d'état d'équilibre en boucle ouverte si l'entrée est un échelon
- Etat d'équilibre peut être atteint pour une entrée impulsionnelle



# Modélisation à partir d'une réponse impulsionnelle - Système intégrateur(1)

- Procédure

- Soit  $y_0$  la valeur initiale de la sortie (à entrée nulle)
- Relever la réponse du système pour une impulsion de courte durée de surface  $\tau$
- Tracer l'évolution de  $\frac{y(t)-y_0}{\tau}$  en fonction de  $t$
- Allure similaire à la figure du "slide" 13  $\rightarrow$  modèle
$$H_1(p) = \frac{A_0}{1+pT}e^{-pL}$$
- Fonction de transfert du procédé:  $H(p) = \frac{A_0}{p(1+pT)}e^{-pL}$

## Modélisation à partir d'une réponse indicielle - Système stable oscillant(1)

- Tracer la réponse indicielle ("normalisée par l'amplitude de l'échelon")
- Considérer un modèle du 2<sup>e</sup> ordre:  $H(p) = A_0 \frac{\omega_n^2}{p^2 + 2\zeta\omega_n p + \omega_n^2}$
- Caractérisation de la réponse:
  - Période apparente:  $T_d = \frac{2\pi}{\omega_n \sqrt{1-\zeta^2}}$  (cf  $\omega_d T_d = 2\pi$ )
  - Facteur de décroissance :  $d = e^{-\sigma t_2} / e^{-\sigma t_1} = e^{-\frac{2\pi\zeta}{\sqrt{1-\zeta^2}}}$

# Modélisation à partir d'une réponse indicielle - Système stable oscillant(2)

- Valeur des paramètres  $\zeta$  et  $\omega_n$

$$\zeta = \frac{1}{\sqrt{1 + (2\pi / \ln d)^2}} \quad \omega_n = \frac{2\pi}{T_d \sqrt{1 - \zeta^2}}$$

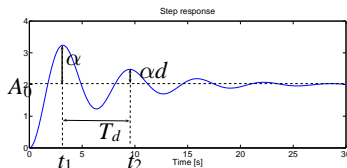
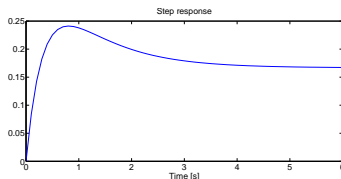


Figure: Réponse indicielle du système  $H(p) = \frac{2}{p^2 + 0.3p + 1}$



## Modélisation à partir d'une réponse indicielle - Exercice

- Gain statique ?
- Degré relatif ?
- Nombre de pôles ?



- $$H(p) = \frac{p + 0.5}{p^2 + 4p + 3}$$

## Réponse indicielle monotone et bornée

- Forme de modèle considérée

$$s(t) = s(\infty) + Ae^{-\alpha t} + Be^{-\beta t} + Ce^{-\gamma t} + \dots$$

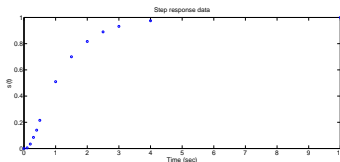
- Supposons que  $\alpha$  correspond au pôle le plus lent (le plus proche de zéro) et que  $A < 0$  (cf réponse croissante)

$$\begin{aligned}s(\infty) - s(t) &\simeq |A|e^{-\alpha t} \\ \log_{10}(s(\infty) - s(t)) &\simeq \log_{10}|A| - \alpha t \log_{10} e \\ &\simeq \log_{10}|A| - 0.4343\alpha t\end{aligned}$$

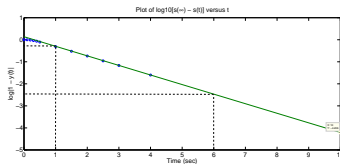
- Equation d'une droite  $\rightarrow$  possibilité de déterminer graphiquement ou par régression linéaire  $A$  et  $\alpha$
- Répéter les mêmes opérations pour  $s(t) - [s(\infty) + Ae^{-\alpha t}] \simeq Be^{\beta t} \dots$

# Exemple numérique (1)

- Données expérimentales



- $\log_{10}(s(\infty) - s(t))$  en fonction de  $t$

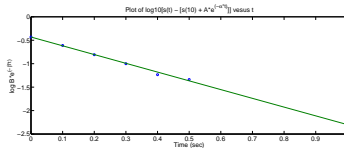


## Exemple numérique (2)

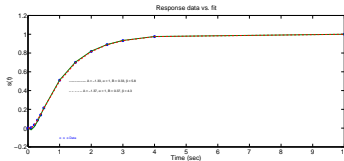
- Calcul de  $A$   
 $A < 0$  car  $y(\infty) > y(t)$  pour  $t$  fini  
 $\log_{10} |A| = 0.125 \rightarrow A = -1.33$
- Calcul de  $\alpha$   
 $0.4343\alpha = \frac{2.469 - 0.297}{5} \rightarrow \alpha \simeq 1$
- Estimée :  $\hat{s}(t) = 1 - 1.33e^{-t}$

## Exemple numérique (3)

### • Détermination du deuxième pôle



### • Validation



## Exemple numérique (4)

- Réponse indicielle estimée

$$\hat{s}(t) = 1 - 1.33e^{-t} + 0.33e^{-5.8t}$$

- Fonction de transfert estimée

$$\begin{aligned}\hat{S}(p) &= \frac{1}{p} - \frac{1.33}{p+1} + \frac{0.33}{p+5.8} \\ &= \frac{-0.58p + 5.8}{p(p+1)(p+5.8)}\end{aligned}$$

Et donc

$$\hat{H}(p) = \frac{-0.58p + 5.8}{(p+1)(p+5.8)}$$

Noter le zéro dans le demi-plan droit alors que pas de dépassement négatif

## Identification par la méthode des moindres carrés (least squares identification)

- Permet de traiter les cas où la réponse présente un mélange de modes "mal séparés"
- Utilisation d'un logiciel d'optimisation numérique pour déterminer les paramètres du modèle qui approche au mieux les mesures.
- Critère d'optimalité : somme des carrés des erreurs

$$J = \sum_{i=1}^N (y_{mes,i} - \hat{y}_i)^2$$

où  $N$  est le nombre de mesures disponibles,  $y_{mes,i}$  le  $i^e$  point de mesure et  $\hat{y}_i$  l'estimée de ce  $i^e$  point fournie par le modèle

- Solution analytique pour un modèle linéaire en les paramètres

# Récapitulation

- Modèle simple utilisable
- Méthodes graphiques fournissent une première estimée du modèle qui peut être améliorée par optimisation numérique des paramètres (méthode des moindres carrés par exemple)
- Choix du signal d'entrée en fonction de la présence d'un pôle à l'origine (système intégrateur) ou pas